



REGIONE
CAMPANIA



COMUNE DI
ARIANO



PROVINCIA DI
AVELLINO

PROGETTO DEFINITIVO

Impianto di produzione di energia elettrica da fonte eolica "Ariano 2" di potenza nominale pari a 86,8 MW e relative opere connesse da realizzarsi nel Comune di Ariano Irpino

Titolo elaborato

Analisi degli effetti di rottura degli organi rotanti

Codice elaborato

PD14CA1

Scala

-

Riproduzione o consegna a terzi solo dietro specifica autorizzazione.

Progettazione



F4 ingegneria srl

Via Di Giura - Centro direzionale, 85100 Potenza
Tel: +39 0971 1944797 - Fax: +39 0971 55452
www.f4ingegneria.it - f4ingegneria@pec.it

Il Direttore Tecnico
(ing. Giovanni Di Santo)



Società certificata secondo le norme UNI-EN ISO 9001:2015 e UNI-EN ISO 14001:2015 per l'erogazione di servizi di ingegneria nei settori: civile, idraulica, acustica, energia, ambiente (settore IAF: 34).



EPF srl - Via Cesare Battisti, 116 83053 S. Andrea di Conza (AV)
Tel e Fax+39 0827 35687

Gruppo di lavoro

Dott. For. Luigi ZUCCARO
Ing. Giuseppe MANZI
Ing. Mariagrazia PIETRAFESA
Ing. Rosanna SANTARSIERO
Arch. Gaia TELESCA

Consulenze specialistiche

ARCHEOLOGIA

Dott.ssa Alessandra VELLA

Via Teano - Casi snc
81057 Teano (CE)
alessandra.vell@gmail.com

GEOLOGIA

Dott. Geol. Maurizio GIACOMINO

Via del Ginepro, 23
75100 Matera
mauriziogiacomino@gmail.com

Committente

WEB Ariano 2 srl

Via Leonardo Da Vinci 15,
39100 Bolzano (BZ)

Data	Descrizione	Redatto	Verificato	Approvato
Aprile 2022	Prima emissione	GDS	GMA	GZU

File sorgente: PD14CA1 - Analisi degli effetti di rottura degli organi rotanti.docx

1 Premessa

La tecnologia costruttiva degli aerogeneratori è alquanto sofisticata e di chiara derivazione aeronautica, per cui, la valutazione della gittata massima degli elementi di un aerogeneratore, in caso di rottura accidentale, comporta lo sviluppo di modelli di calcolo articolati e complessi.

I modelli teorici che meglio possono caratterizzare il moto nello spazio dei frammenti di pala o dell'intera pala possono essere ricondotti ai casi seguenti:

- **1° caso:** traiettoria a giavellotto con minore resistenza aerodinamica. Calcolo della gittata massima del generico frammento di ala, in assenza di moto rotazionale intorno ad un asse qualsiasi, con traiettoria del frammento complanare al rotore.
- **2° caso:** traiettoria a giavellotto con maggiore resistenza aerodinamica. Calcolo della gittata massima del generico frammento di ala, sempre in assenza di moto rotazionale, intorno ad un asse qualsiasi, con traiettoria complanare al rotore e frammento ortogonale rispetto al piano del rotore.
- **3° caso:** calcolo della gittata massima in presenza di moti di rotazione intorno a ciascuno dei tre assi principali del frammento stesso. In caso di rottura, infatti, per il principio di conservazione del momento angolare, il generico spezzone di pala tende a ruotare intorno all'asse ortogonale al proprio piano; inoltre, a causa delle diverse pressioni cinetiche esercitate dal vento, lo spezzone di pala tende anche a ruotare intorno a ciascuno dei due assi principali appartenenti al proprio piano.

Le condizioni prese in considerazione nel 3° caso, permettono senza dubbio un calcolo più preciso e maggiormente corrispondente al reale moto di una pala staccatasi dal rotore per cause accidentali e forniscono, sperimentalmente, un valore di gittata di circa il 20% in meno di quella fornita dal caso 1.

Come già accennato precedentemente, la risoluzione del 3° caso è però più complessa e richiede la conoscenza di alcune caratteristiche degli aerogeneratori, non sempre fornite dai produttori, poiché oggetto di brevetto.

Pertanto, si è deciso di utilizzare il 1° caso, di facile soluzione e che fornisce un risultato maggiorato di circa il 20%, garantendo così un ulteriore margine di sicurezza.

L'aerogeneratore preso come riferimento per la presente verifica e previsto in progetto è del tipo Vestas V162 6.2 MW-HH119 o similare. Gli aerogeneratori che potranno essere installati sono delle seguenti tipologie: Vestas V162, Nordex N163 o altro modello similare.

1 Geometria del problema e teoria di calcolo

Le equazioni del moto di un punto materiale soggetto solo alla forza di gravità sono:

$$\begin{aligned}\ddot{x} &= 0 \\ \ddot{y} &= -g\end{aligned}$$

dove $g=9.81 \text{ m/s}^2$ è l'accelerazione di gravità. La legge del moto che costituisce soluzione di queste equazioni è:

$$\begin{aligned}x(t) &= x_0 + v_x t \\ y(t) &= y_0 + v_y t - \frac{1}{2}gt^2\end{aligned}$$

dove (x_0, v_0) è la posizione iniziale del punto materiale, e (v_x, v_y) è la sua velocità. La traiettoria del punto materiale intercetta il suolo al tempo T tale che $y(T)=0$. Dalla legge del moto si ottiene:

$$T = \frac{v_y}{g} + \frac{1}{g}\sqrt{v_y^2 + 2y_0g}$$

in cui è stata scartata la soluzione corrispondente a tempi negativi.

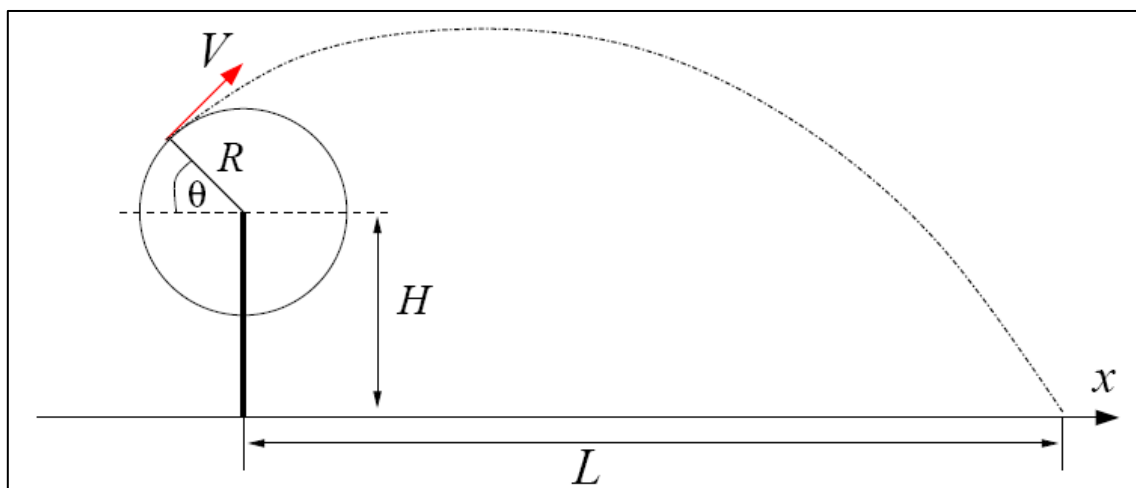


Figura 1: geometria del problema

La posizione e la velocità iniziale sono determinate dall'angolo θ e dalla velocità iniziale V del frammento di pala al momento del distacco. Esse sono legate alla posizione ed alla velocità iniziale dalle relazioni:

$$\begin{aligned}x_0 &= -R \cos(\theta) \\ y_0 &= H + R \sin(\theta) \\ v_x &= V \sin(\theta) \\ v_y &= V \cos(\theta)\end{aligned}$$

La gittata L è la distanza dal palo del punto di impatto al suolo del frammento di pala. Dalla legge del moto si ottiene:

$$L = x(T)$$

Sostituendo l'espressione per T ricavato sopra, si ricava la gittata L in funzione di V e di θ :

$$L = \frac{V \sin(\theta)}{g} \left[V \cos(\theta) + \sqrt{V^2 \cos^2(\theta) + 2(H + R \sin(\theta))g} \right] - R \cos(\theta)$$

Si noti che, fissato un generico angolo θ , la gittata aumenta quadraticamente con V , salvo i casi particolari $\theta = \pm 90^\circ, 0^\circ, 180^\circ$, nei quali quest'ultima aumenta linearmente con V oppure è pari ad R .

2 Calcolo della gittata massima

Come già precedentemente indicato, il calcolo della gittata massima richiede la conoscenza dei valori H (altezza del mozzo), R (distanza dal mozzo del baricentro del frammento staccatosi dal rotore) e V (velocità di distacco del frammento di pala).

Nel caso in esame, i valori di H ed R sono rispettivamente H=119 m, R_{tot}= 81 m ed R= 27 m, per il calcolo della velocità di distacco del frammento di pala si ricorre alla seguente formula:

$$v_0 = \frac{2 \times \pi \times R \times \text{rpm}}{60}$$

Il numero di giri per minuto che l'aerogeneratore caratteristico dell'aerogeneratore di progetto è pari 8.5, quindi supponendo che la rottura della pala avvenga vicino al mozzo e considerando R=27 m (lunghezza pala/3), si ottiene una velocità di distacco di 26.20 m/s nel baricentro della pala.

Di seguito si riporta il grafico della gittata effettiva, comprensiva anche della lunghezza dell'organo rotante, in funzione dell'angolo e della velocità di distacco.

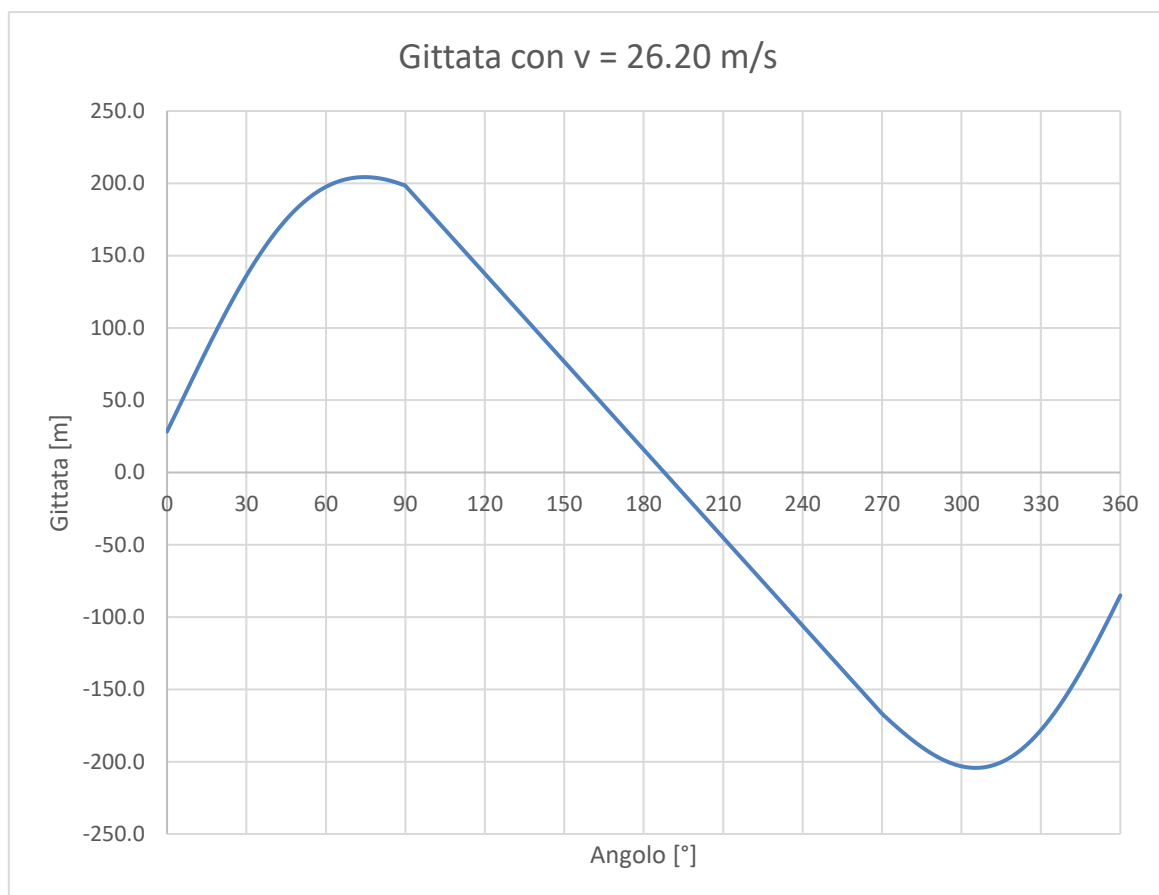


Figura 2: andamento della gittata in funzione dell'angolo e della velocità di distacco

La gittata massima è di circa 189 m.

Il valore ricavato è sicuramente compatibile con quello degli studi forniti dalle ditte produttrici.

Si sottolinea che il valore precedentemente calcolato sovrastima quello reale della gittata massima; infatti, la presenza dell'aria genera delle forze di resistenza viscoso che agendo sulla superficie del frammento ne riducono tempo di volo e distanza.

A questa azione vanno aggiunte le forze aerodinamiche di portanza che possono innescarsi sul frammento di pala in virtù del profilo aerodinamico secondo il quale vengono modellate le sezioni trasversali della pala stessa; tale portanza potrebbe addirittura prolungare il volo e allungare la distanza percorsa.

Questa possibilità è correlata, tra l'altro, al rollio, all'imbardata ed all'impennarsi della pala durante il volo. L'azione della portanza può essere ricondotta e schematizzata nei calcoli con una riduzione percentuale della forza peso.

In attuazione della Direttiva 2003/4/CE "Direttiva Aarhus" e del Decreto Legislativo 195/2005, con Decreto Dirigenziale n. 44 del 12/02/2021, si riportano i valori ottenuti dall'elaborazione del foglio di calcolo per la "Gittata massima" utilizzato dalla Unità Operativa Dirigenziale 500203 - Energia, efficientamento e risparmio energetico, Green Economy e Bioeconomia nelle istruttorie per gli impianti di produzione di energia da fonte rinnovabile eolica.

Tabella 1 – tabulati di calcolo

Angolo α	n	L	H _{torre}	v ₀	v _{x0}	v _{y0}	H _g	D	r _g	g	Gittata teorica	X _g	L _g	Gittata Effettiva
0	8.50	81.00	119.00	24.03	0.00	24.03	119.00	162	27.00	9.81	-27.00	27.00	54.00	27.00
1	8.50	81.00	119.00	24.03	0.42	24.03	119.47	162	27.00	9.81	-23.66	27.00	54.00	30.34
2	8.50	81.00	119.00	24.03	0.84	24.02	119.94	162	27.00	9.81	-20.30	26.98	54.00	33.70
3	8.50	81.00	119.00	24.03	1.26	24.00	120.41	162	27.00	9.81	-16.94	26.96	54.00	37.06
4	8.50	81.00	119.00	24.03	1.68	23.97	120.88	162	27.00	9.81	-13.56	26.93	54.00	40.44
5	8.50	81.00	119.00	24.03	2.09	23.94	121.35	162	27.00	9.81	-10.18	26.90	54.00	43.82
6	8.50	81.00	119.00	24.03	2.51	23.90	121.82	162	27.00	9.81	-6.80	26.85	54.00	47.20
7	8.50	81.00	119.00	24.03	2.93	23.85	122.29	162	27.00	9.81	-3.41	26.80	54.00	50.59
8	8.50	81.00	119.00	24.03	3.34	23.80	122.76	162	27.00	9.81	-0.03	26.74	54.00	53.97
9	8.50	81.00	119.00	24.03	3.76	23.74	123.23	162	27.00	9.81	3.35	26.67	54.00	57.35
10	8.50	81.00	119.00	24.03	4.17	23.67	123.69	162	27.00	9.81	6.73	26.59	54.00	60.73
11	8.50	81.00	119.00	24.03	4.59	23.59	124.15	162	27.00	9.81	10.10	26.50	54.00	64.10
12	8.50	81.00	119.00	24.03	5.00	23.51	124.61	162	27.00	9.81	13.45	26.41	54.00	67.45

Angolo α	n	L	H _{torre}	V ₀	V _{x0}	V _{y0}	H _g	D	r _g	g	Gittata teorica	X _g	L _g	Gittata Effettiva
13	8.50	81.00	119.00	24.03	5.41	23.42	125.07	162	27.00	9.81	16.79	26.31	54.00	70.79
14	8.50	81.00	119.00	24.03	5.81	23.32	125.53	162	27.00	9.81	20.12	26.20	54.00	74.12
15	8.50	81.00	119.00	24.03	6.22	23.21	125.99	162	27.00	9.81	23.43	26.08	54.00	77.43
16	8.50	81.00	119.00	24.03	6.62	23.10	126.44	162	27.00	9.81	26.72	25.95	54.00	80.72
17	8.50	81.00	119.00	24.03	7.03	22.98	126.89	162	27.00	9.81	29.99	25.82	54.00	83.99
18	8.50	81.00	119.00	24.03	7.43	22.86	127.34	162	27.00	9.81	33.23	25.68	54.00	87.23
19	8.50	81.00	119.00	24.03	7.82	22.72	127.79	162	27.00	9.81	36.45	25.53	54.00	90.45
20	8.50	81.00	119.00	24.03	8.22	22.58	128.23	162	27.00	9.81	39.64	25.37	54.00	93.64
21	8.50	81.00	119.00	24.03	8.61	22.44	128.68	162	27.00	9.81	42.80	25.21	54.00	96.80
22	8.50	81.00	119.00	24.03	9.00	22.28	129.11	162	27.00	9.81	45.93	25.03	54.00	99.93
23	8.50	81.00	119.00	24.03	9.39	22.12	129.55	162	27.00	9.81	49.02	24.85	54.00	103.02
24	8.50	81.00	119.00	24.03	9.78	21.96	129.98	162	27.00	9.81	52.08	24.67	54.00	106.08
25	8.50	81.00	119.00	24.03	10.16	21.78	130.41	162	27.00	9.81	55.10	24.47	54.00	109.10
26	8.50	81.00	119.00	24.03	10.54	21.60	130.84	162	27.00	9.81	58.08	24.27	54.00	112.08
27	8.50	81.00	119.00	24.03	10.91	21.41	131.26	162	27.00	9.81	61.02	24.06	54.00	115.02
28	8.50	81.00	119.00	24.03	11.28	21.22	131.68	162	27.00	9.81	63.92	23.84	54.00	117.92
29	8.50	81.00	119.00	24.03	11.65	21.02	132.09	162	27.00	9.81	66.77	23.61	54.00	120.77
30	8.50	81.00	119.00	24.03	12.02	20.81	132.50	162	27.00	9.81	69.57	23.38	54.00	123.57
31	8.50	81.00	119.00	24.03	12.38	20.60	132.91	162	27.00	9.81	72.33	23.14	54.00	126.33
32	8.50	81.00	119.00	24.03	12.74	20.38	133.31	162	27.00	9.81	75.03	22.90	54.00	129.03
33	8.50	81.00	119.00	24.03	13.09	20.16	133.71	162	27.00	9.81	77.69	22.64	54.00	131.69
34	8.50	81.00	119.00	24.03	13.44	19.92	134.10	162	27.00	9.81	80.30	22.38	54.00	134.30
35	8.50	81.00	119.00	24.03	13.78	19.69	134.49	162	27.00	9.81	82.85	22.12	54.00	136.85

Angolo α	n	L	H _{torre}	V ₀	V _{x0}	V _{y0}	H _g	D	r _g	g	Gittata teorica	X _g	L _g	Gittata Effettiva
36	8.50	81.00	119.00	24.03	14.13	19.44	134.87	162	27.00	9.81	85.34	21.84	54.00	139.34
37	8.50	81.00	119.00	24.03	14.46	19.19	135.25	162	27.00	9.81	87.79	21.56	54.00	141.79
38	8.50	81.00	119.00	24.03	14.80	18.94	135.62	162	27.00	9.81	90.17	21.28	54.00	144.17
39	8.50	81.00	119.00	24.03	15.12	18.68	135.99	162	27.00	9.81	92.50	20.98	54.00	146.50
40	8.50	81.00	119.00	24.03	15.45	18.41	136.36	162	27.00	9.81	94.77	20.68	54.00	148.77
41	8.50	81.00	119.00	24.03	15.77	18.14	136.71	162	27.00	9.81	96.97	20.38	54.00	150.97
42	8.50	81.00	119.00	24.03	16.08	17.86	137.07	162	27.00	9.81	99.12	20.06	54.00	153.12
43	8.50	81.00	119.00	24.03	16.39	17.58	137.41	162	27.00	9.81	101.21	19.75	54.00	155.21
44	8.50	81.00	119.00	24.03	16.69	17.29	137.76	162	27.00	9.81	103.24	19.42	54.00	157.24
45	8.50	81.00	119.00	24.03	16.99	16.99	138.09	162	27.00	9.81	105.20	19.09	54.00	159.20
46	8.50	81.00	119.00	24.03	17.29	16.69	138.42	162	27.00	9.81	107.10	18.76	54.00	161.10
47	8.50	81.00	119.00	24.03	17.58	16.39	138.75	162	27.00	9.81	108.94	18.41	54.00	162.94
48	8.50	81.00	119.00	24.03	17.86	16.08	139.06	162	27.00	9.81	110.71	18.07	54.00	164.71
49	8.50	81.00	119.00	24.03	18.14	15.77	139.38	162	27.00	9.81	112.43	17.71	54.00	166.43
50	8.50	81.00	119.00	24.03	18.41	15.45	139.68	162	27.00	9.81	114.07	17.36	54.00	168.07
51	8.50	81.00	119.00	24.03	18.68	15.12	139.99	162	27.00	9.81	115.65	16.99	54.00	169.65
52	8.50	81.00	119.00	24.03	18.94	14.80	140.28	162	27.00	9.81	117.17	16.62	54.00	171.17
53	8.50	81.00	119.00	24.03	19.19	14.46	140.56	162	27.00	9.81	118.62	16.25	54.00	172.62
54	8.50	81.00	119.00	24.03	19.44	14.13	140.84	162	27.00	9.81	120.01	15.87	54.00	174.01
55	8.50	81.00	119.00	24.03	19.69	13.79	141.12	162	27.00	9.81	121.34	15.49	54.00	175.34
56	8.50	81.00	119.00	24.03	19.92	13.44	141.39	162	27.00	9.81	122.60	15.10	54.00	176.60
57	8.50	81.00	119.00	24.03	20.16	13.09	141.66	162	27.00	9.81	123.79	14.71	54.00	177.79
58	8.50	81.00	119.00	24.03	20.38	12.74	141.93	162	27.00	9.81	124.92	14.31	54.00	178.92

Angolo α	n	L	H _{torre}	V ₀	V _{x0}	V _{y0}	H _g	D	r _g	g	Gittata teorica	X _g	L _g	Gittata Effettiva
59	8.50	81.00	119.00	24.03	20.60	12.38	142.14	162	27.00	9.81	125.99	13.91	54.00	179.99
60	8.50	81.00	119.00	24.03	20.81	12.02	142.38	162	27.00	9.81	126.99	13.50	54.00	180.99
61	8.50	81.00	119.00	24.03	21.02	11.65	142.61	162	27.00	9.81	127.94	13.09	54.00	181.94
62	8.50	81.00	119.00	24.03	21.22	11.28	142.84	162	27.00	9.81	128.81	12.68	54.00	182.81
63	8.50	81.00	119.00	24.03	21.41	10.91	143.06	162	27.00	9.81	129.63	12.26	54.00	183.63
64	8.50	81.00	119.00	24.03	21.60	10.54	143.27	162	27.00	9.81	130.39	11.84	54.00	184.39
65	8.50	81.00	119.00	24.03	21.78	10.16	143.47	162	27.00	9.81	131.08	11.41	54.00	185.08
66	8.50	81.00	119.00	24.03	21.96	9.78	143.67	162	27.00	9.81	131.72	10.98	54.00	185.72
67	8.50	81.00	119.00	24.03	22.12	9.39	143.85	162	27.00	9.81	132.29	10.55	54.00	186.29
68	8.50	81.00	119.00	24.03	22.28	9.00	144.03	162	27.00	9.81	132.81	10.11	54.00	186.81
69	8.50	81.00	119.00	24.03	22.44	8.61	144.21	162	27.00	9.81	133.26	9.68	54.00	187.26
70	8.50	81.00	119.00	24.03	22.58	8.22	144.37	162	27.00	9.81	133.66	9.23	54.00	187.66
71	8.50	81.00	119.00	24.03	22.72	7.82	144.53	162	27.00	9.81	134.01	8.79	54.00	188.01
72	8.50	81.00	119.00	24.03	22.86	7.43	144.68	162	27.00	9.81	134.30	8.34	54.00	188.30
73	8.50	81.00	119.00	24.03	22.98	7.03	144.82	162	27.00	9.81	134.53	7.89	54.00	188.53
74	8.50	81.00	119.00	24.03	23.10	6.62	144.95	162	27.00	9.81	134.71	7.44	54.00	188.71
75	8.50	81.00	119.00	24.03	23.21	6.22	145.08	162	27.00	9.81	134.84	6.99	54.00	188.84
76	8.50	81.00	119.00	24.03	23.32	5.81	145.20	162	27.00	9.81	134.91	6.53	54.00	188.91
77	8.50	81.00	119.00	24.03	23.42	5.41	145.31	162	27.00	9.81	134.94	6.07	54.00	188.94
78	8.50	81.00	119.00	24.03	23.51	5.00	145.41	162	27.00	9.81	134.91	5.61	54.00	188.91
79	8.50	81.00	119.00	24.03	23.59	4.59	145.50	162	27.00	9.81	134.84	5.15	54.00	188.84
80	8.50	81.00	119.00	24.03	23.67	4.17	145.59	162	27.00	9.81	134.72	4.69	54.00	188.72
81	8.50	81.00	119.00	24.03	23.74	3.76	145.67	162	27.00	9.81	134.55	4.22	54.00	188.55

Angolo α	n	L	H _{torre}	V ₀	V _{x0}	V _{y0}	H _g	D	r _g	g	Gittata teorica	X _g	L _g	Gittata Effettiva
82	8.50	81.00	119.00	24.03	23.80	3.34	145.74	162	27.00	9.81	134.34	3.76	54.00	188.34
83	8.50	81.00	119.00	24.03	23.85	2.93	145.80	162	27.00	9.81	134.08	3.29	54.00	188.08
84	8.50	81.00	119.00	24.03	23.90	2.51	145.85	162	27.00	9.81	133.78	2.82	54.00	187.78
85	8.50	81.00	119.00	24.03	23.94	2.09	145.90	162	27.00	9.81	133.43	2.35	54.00	187.43
86	8.50	81.00	119.00	24.03	23.97	1.68	145.93	162	27.00	9.81	133.05	1.88	54.00	187.05
87	8.50	81.00	119.00	24.03	24.00	1.26	145.96	162	27.00	9.81	132.62	1.41	54.00	186.62
88	8.50	81.00	119.00	24.03	24.02	0.84	145.98	162	27.00	9.81	132.16	0.94	54.00	186.16
89	8.50	81.00	119.00	24.03	24.03	0.42	146.00	162	27.00	9.81	131.66	0.47	54.00	185.66
90	8.50	81.00	119.00	24.03	24.03	0.00	146.00	162	27.00	9.81	131.12	0.00	54.00	185.12
270	8.50	81.00	119.00	24.03	-24.03	0.00	92.00	162	27.00	9.81	-104.08	0.00	54.00	-158.08
271	8.50	81.00	119.00	24.03	-24.03	0.42	92.00	162	27.00	9.81	-105.57	0.47	54.00	-159.57
272	8.50	81.00	119.00	24.03	-24.02	0.84	92.02	162	27.00	9.81	-107.05	0.94	54.00	-161.05
273	8.50	81.00	119.00	24.03	-24.00	1.26	92.04	162	27.00	9.81	-108.50	1.41	54.00	-162.50
274	8.50	81.00	119.00	24.03	-23.97	1.68	92.07	162	27.00	9.81	-109.93	1.88	54.00	-163.93
275	8.50	81.00	119.00	24.03	-23.94	2.09	92.10	162	27.00	9.81	-111.34	2.35	54.00	-165.34
276	8.50	81.00	119.00	24.03	-23.90	2.51	92.15	162	27.00	9.81	-112.72	2.82	54.00	-166.72
277	8.50	81.00	119.00	24.03	-23.85	2.93	92.20	162	27.00	9.81	-114.08	3.29	54.00	-168.08
278	8.50	81.00	119.00	24.03	-23.80	3.34	92.26	162	27.00	9.81	-115.41	3.76	54.00	-169.41
279	8.50	81.00	119.00	24.03	-23.74	3.76	92.33	162	27.00	9.81	-116.71	4.22	54.00	-170.71
280	8.50	81.00	119.00	24.03	-23.67	4.17	92.41	162	27.00	9.81	-117.98	4.69	54.00	-171.98
281	8.50	81.00	119.00	24.03	-23.59	4.59	92.50	162	27.00	9.81	-119.22	5.15	54.00	-173.22
282	8.50	81.00	119.00	24.03	-23.51	5.00	92.59	162	27.00	9.81	-120.42	5.61	54.00	-174.42
283	8.50	81.00	119.00	24.03	-23.42	5.41	92.69	162	27.00	9.81	-121.59	6.07	54.00	-175.59

Angolo α	n	L	H _{torre}	V ₀	V _{x0}	V _{y0}	H _g	D	r _g	g	Gittata teorica	X _g	L _g	Gittata Effettiva
284	8.50	81.00	119.00	24.03	-23.32	5.81	92.80	162	27.00	9.81	-122.72	6.53	54.00	-176.72
285	8.50	81.00	119.00	24.03	-23.21	6.22	92.92	162	27.00	9.81	-123.81	6.99	54.00	-177.81
286	8.50	81.00	119.00	24.03	-23.10	6.62	93.05	162	27.00	9.81	-124.86	7.44	54.00	-178.86
287	8.50	81.00	119.00	24.03	-22.98	7.03	93.18	162	27.00	9.81	-125.87	7.89	54.00	-179.87
288	8.50	81.00	119.00	24.03	-22.86	7.43	93.32	162	27.00	9.81	-126.84	8.34	54.00	-180.84
289	8.50	81.00	119.00	24.03	-22.72	7.82	93.47	162	27.00	9.81	-127.75	8.79	54.00	-181.75
290	8.50	81.00	119.00	24.03	-22.58	8.22	93.63	162	27.00	9.81	-128.62	9.23	54.00	-182.62
291	8.50	81.00	119.00	24.03	-22.44	8.61	93.79	162	27.00	9.81	-129.45	9.68	54.00	-183.45
292	8.50	81.00	119.00	24.03	-22.28	9.00	93.97	162	27.00	9.81	-130.22	10.11	54.00	-184.22
293	8.50	81.00	119.00	24.03	-22.12	9.39	94.15	162	27.00	9.81	-130.93	10.55	54.00	-184.93
294	8.50	81.00	119.00	24.03	-21.96	9.78	94.33	162	27.00	9.81	-131.60	10.98	54.00	-185.60
295	8.50	81.00	119.00	24.03	-21.78	10.16	94.53	162	27.00	9.81	-132.21	11.41	54.00	-186.21
296	8.50	81.00	119.00	24.03	-21.60	10.54	94.73	162	27.00	9.81	-132.76	11.84	54.00	-186.76
297	8.50	81.00	119.00	24.03	-21.41	10.91	94.94	162	27.00	9.81	-133.25	12.26	54.00	-187.25
298	8.50	81.00	119.00	24.03	-21.22	11.28	95.16	162	27.00	9.81	-133.68	12.68	54.00	-187.68
299	8.50	81.00	119.00	24.03	-21.02	11.65	95.39	162	27.00	9.81	-134.05	13.09	54.00	-188.05
300	8.50	81.00	119.00	24.03	-20.81	12.02	95.62	162	27.00	9.81	-134.36	13.50	54.00	-188.36
301	8.50	81.00	119.00	24.03	-20.60	12.38	95.86	162	27.00	9.81	-134.60	13.91	54.00	-188.60
302	8.50	81.00	119.00	24.03	-20.38	12.74	96.10	162	27.00	9.81	-134.78	14.31	54.00	-188.78
303	8.50	81.00	119.00	24.03	-20.16	13.09	96.36	162	27.00	9.81	-134.89	14.71	54.00	-188.89
304	8.50	81.00	119.00	24.03	-19.92	13.44	96.62	162	27.00	9.81	-134.94	15.10	54.00	-188.94
305	8.50	81.00	119.00	24.03	-19.69	13.78	96.88	162	27.00	9.81	-134.91	15.49	54.00	-188.91
306	8.50	81.00	119.00	24.03	-19.44	14.13	97.16	162	27.00	9.81	-134.82	15.87	54.00	-188.82

Angolo α	n	L	H _{torre}	V ₀	V _{x0}	V _{y0}	H _g	D	r _g	g	Gittata teorica	X _g	L _g	Gittata Effettiva
307	8.50	81.00	119.00	24.03	-19.19	14.46	97.44	162	27.00	9.81	-134.65	16.25	54.00	-188.65
308	8.50	81.00	119.00	24.03	-18.94	14.80	97.72	162	27.00	9.81	-134.42	16.62	54.00	-188.42
309	8.50	81.00	119.00	24.03	-18.68	15.12	98.02	162	27.00	9.81	-134.11	16.99	54.00	-188.11
310	8.50	81.00	119.00	24.03	-18.41	15.45	98.32	162	27.00	9.81	-133.72	17.36	54.00	-187.72
311	8.50	81.00	119.00	24.03	-18.14	15.77	98.62	162	27.00	9.81	-133.26	17.71	54.00	-187.26
312	8.50	81.00	119.00	24.03	-17.86	16.08	98.94	162	27.00	9.81	-132.73	18.07	54.00	-186.73
313	8.50	81.00	119.00	24.03	-17.58	16.39	99.25	162	27.00	9.81	-132.13	18.41	54.00	-186.13
314	8.50	81.00	119.00	24.03	-17.29	16.69	99.58	162	27.00	9.81	-131.44	18.76	54.00	-185.44
315	8.50	81.00	119.00	24.03	-16.99	16.99	99.91	162	27.00	9.81	-130.68	19.09	54.00	-184.68
316	8.50	81.00	119.00	24.03	-16.69	17.29	100.24	162	27.00	9.81	-129.85	19.42	54.00	-183.85
317	8.50	81.00	119.00	24.03	-16.39	17.59	100.59	162	27.00	9.81	-128.94	19.75	54.00	-182.94
318	8.50	81.00	119.00	24.03	-16.08	17.89	100.93	162	27.00	9.81	-127.95	20.06	54.00	-181.95
319	8.50	81.00	119.00	24.03	-15.77	18.19	101.29	162	27.00	9.81	-126.88	20.38	54.00	-180.88
320	8.50	81.00	119.00	24.03	-15.45	18.49	101.64	162	27.00	9.81	-125.74	20.68	54.00	-179.74
321	8.50	81.00	119.00	24.03	-15.12	18.69	102.01	162	27.00	9.81	-124.52	20.98	54.00	-178.52
322	8.50	81.00	119.00	24.03	-14.80	18.99	102.38	162	27.00	9.81	-123.23	21.28	54.00	-177.23
323	8.50	81.00	119.00	24.03	-14.46	19.19	102.75	162	27.00	9.81	-121.86	21.56	54.00	-175.86
324	8.50	81.00	119.00	24.03	-14.13	19.49	103.13	162	27.00	9.81	-120.41	21.84	54.00	-174.41
325	8.50	81.00	119.00	24.03	-13.78	19.69	103.51	162	27.00	9.81	-118.89	22.12	54.00	-172.89
326	8.50	81.00	119.00	24.03	-13.44	19.99	103.90	162	27.00	9.81	-117.29	22.38	54.00	-171.29
327	8.50	81.00	119.00	24.03	-13.09	20.19	104.29	162	27.00	9.81	-115.62	22.64	54.00	-169.62
328	8.50	81.00	119.00	24.03	-12.74	20.39	104.68	162	27.00	9.81	-113.87	22.90	54.00	-167.87
329	8.50	81.00	119.00	24.03	-12.38	20.69	105.08	162	27.00	9.81	-112.05	23.14	54.00	-166.05

Angolo α	n	L	H _{torre}	V ₀	V _{x0}	V _{y0}	H _g	D	r _g	g	Gittata teorica	X _g	L _g	Gittata Effettiva
330	8.50	81.00	119.00	24.03	-12.02	20.81	105.50	162	27.00	9.81	-110.16	23.38	54.00	-164.16
331	8.50	81.00	119.00	24.03	-11.65	21.02	105.91	162	27.00	9.81	-108.20	23.61	54.00	-162.20
332	8.50	81.00	119.00	24.03	-11.28	21.22	106.32	162	27.00	9.81	-106.17	23.84	54.00	-160.17
333	8.50	81.00	119.00	24.03	-10.91	21.41	106.74	162	27.00	9.81	-104.07	24.06	54.00	-158.07
334	8.50	81.00	119.00	24.03	-10.54	21.60	107.16	162	27.00	9.81	-101.90	24.27	54.00	-155.90
335	8.50	81.00	119.00	24.03	-10.16	21.78	107.59	162	27.00	9.81	-99.67	24.47	54.00	-153.67
336	8.50	81.00	119.00	24.03	-9.78	21.96	108.02	162	27.00	9.81	-97.37	24.67	54.00	-151.37
337	8.50	81.00	119.00	24.03	-9.39	22.12	108.45	162	27.00	9.81	-95.00	24.85	54.00	-149.00
338	8.50	81.00	119.00	24.03	-9.00	22.28	108.89	162	27.00	9.81	-92.57	25.03	54.00	-146.57
339	8.50	81.00	119.00	24.03	-8.61	22.44	109.32	162	27.00	9.81	-90.09	25.21	54.00	-144.09
340	8.50	81.00	119.00	24.03	-8.22	22.58	109.77	162	27.00	9.81	-87.54	25.37	54.00	-141.54
341	8.50	81.00	119.00	24.03	-7.82	22.72	110.21	162	27.00	9.81	-84.93	25.53	54.00	-138.93
342	8.50	81.00	119.00	24.03	-7.43	22.86	110.66	162	27.00	9.81	-82.27	25.68	54.00	-136.27
343	8.50	81.00	119.00	24.03	-7.03	22.99	111.11	162	27.00	9.81	-79.56	25.82	54.00	-133.56
344	8.50	81.00	119.00	24.03	-6.62	23.10	111.56	162	27.00	9.81	-76.79	25.95	54.00	-130.79
345	8.50	81.00	119.00	24.03	-6.22	23.22	112.01	162	27.00	9.81	-73.97	26.08	54.00	-127.97
346	8.50	81.00	119.00	24.03	-5.81	23.33	112.46	162	27.00	9.81	-71.10	26.20	54.00	-125.10
347	8.50	81.00	119.00	24.03	-5.41	23.44	112.91	162	27.00	9.81	-68.19	26.31	54.00	-122.19
348	8.50	81.00	119.00	24.03	-5.00	23.55	113.36	162	27.00	9.81	-65.23	26.41	54.00	-119.23
349	8.50	81.00	119.00	24.03	-4.59	23.59	113.81	162	27.00	9.81	-62.22	26.50	54.00	-116.22
350	8.50	81.00	119.00	24.03	-4.17	23.67	114.26	162	27.00	9.81	-59.18	26.59	54.00	-113.18
351	8.50	81.00	119.00	24.03	-3.76	23.74	114.71	162	27.00	9.81	-56.10	26.67	54.00	-110.10
352	8.50	81.00	119.00	24.03	-3.34	23.80	115.16	162	27.00	9.81	-52.98	26.74	54.00	-106.98

Angolo α	n	L	H _{torre}	V ₀	V _{x0}	V _{y0}	H _g	D	r _g	g	Gittata teorica	X _g	L _g	Gittata Effettiva
353	8.50	81.00	119.00	24.03	-2.93	23.85	115.71	162	27.00	9.81	-49.83	26.80	54.00	-103.83
354	8.50	81.00	119.00	24.03	-2.51	23.90	116.18	162	27.00	9.81	-46.65	26.85	54.00	-100.65
355	8.50	81.00	119.00	24.03	-2.09	23.94	116.65	162	27.00	9.81	-43.43	26.90	54.00	-97.43
356	8.50	81.00	119.00	24.03	-1.68	23.97	117.12	162	27.00	9.81	-40.19	26.93	54.00	-94.19
357	8.50	81.00	119.00	24.03	-1.26	24.00	117.59	162	27.00	9.81	-36.92	26.96	54.00	-90.92
358	8.50	81.00	119.00	24.03	-0.84	24.02	118.06	162	27.00	9.81	-33.64	26.98	54.00	-87.64
359	8.50	81.00	119.00	24.03	-0.42	24.03	118.53	162	27.00	9.81	-30.33	27.00	54.00	-84.33
360	8.50	81.00	119.00	24.03	0.00	24.03	119.00	162	27.00	9.81	-27.00	27.00	54.00	-81.00

3 Conclusioni

Avendo ottenuto la lunghezza di 189 m e considerando tutte le condizioni più gravose al momento dell'ipotetica rottura (inclinazione della pala corrispondente alla massima velocità e esclusione degli effetti dovuti alla resistenza dell'aria che la pala incontra durante la sua traiettoria), si conclude che l'ubicazione prescelta per gli aerogeneratori del Parco Eolico in oggetto, garantisce, in caso di rottura accidentale, che non si possano determinare condizioni di pericolo per cose o persone.

